

Поиск зависимостей в биомеханических системах

Зыков Тимур Алексеевич

Московский физико-технический институт

Курс: Автоматизация научных исследований

Эксперт: В. В. Стрижов

Консультант: Д. Д. Дорин

Весна 2024

Цель исследования

Требуется предложить метод прогнозирования показаний фМРТ по прослушиваемому звуковому ряду. Провести анализ решения. Для анализа предложенного метода проводится вычислительный эксперимент на выборке, полученной при томографическом обследовании большого числа испытуемых.

Постановка задачи

Обозначим частоту снимков фМРТ $\mu \in \mathbb{R}$. Задана последовательность снимков

$$\mathbf{S} = [\mathbf{s}_1, \dots, \mathbf{s}_{\mu t}], \quad \mathbf{s}_\ell \in \mathbb{R}^{X \times Y \times Z}, \quad (1)$$

где X , Y и Z — размерности воксельного изображения. Задана частота дискретизации $\nu \in \mathbb{R}$, количество каналов $k \in \mathbb{N}$ и продолжительность $t \in \mathbb{R}$ аудиоряда. Задан непрерывный по времени сигнал

$$\mathbf{P} = [\mathbf{p}_1, \dots, \mathbf{p}_{\nu t}], \quad \mathbf{p}_\ell = \begin{pmatrix} p_\ell^1 \\ p_\ell^2 \\ \vdots \\ p_\ell^k \end{pmatrix}, \quad p_\ell^k \in \mathbb{R}, \quad (2)$$

Постановка задачи

Задача состоит в построении отображения, которое бы учитывало задержку Δt между снимком фМРТ и аудиорядом. Формально, найти такое отображение \mathbf{f} , что

$$\mathbf{f}(\mathbf{p}_1, \dots, \mathbf{p}_{k_\ell - \nu \Delta t}; \mathbf{s}_1, \dots, \mathbf{s}_{\ell-1}) = \mathbf{s}_\ell, \quad \ell = 1, \dots, \mu t, \quad (3)$$

где для ℓ -го снимка фМРТ номер соответствующего сигнала k_ℓ определяется по формуле

$$k_\ell = t\nu = \frac{\ell}{\mu}\nu. \quad (4)$$

Baseline модель

Будем восстанавливать функцию \mathbf{f} , в предположении марковского свойства. Эмбедингами аудиоряда будут мел-кепстральные коэффициенты.

$$\mathbf{f}(\mathbf{x}_{k_\ell - \nu \Delta t - g}, \dots, \mathbf{x}_{k_\ell - \nu \Delta t}) = \mathbf{s}_\ell - \mathbf{s}_{\ell-1} = \delta_\ell \quad \ell = 2, \dots, \mu t, \quad (5)$$

где $\delta_\ell = [s_{ijk}^\ell - s_{ijk}^{\ell-1}] = [\delta_{ijk}^\ell] \in \mathbb{R}^{X \times Y \times Z}$ — разность между двумя последовательными снимками.

Для каждого экземпляра сигнала имеем вектор размерности \mathbf{d} :

$$\mathbf{x}_\ell = [x_1^\ell, \dots, x_d^\ell]^\top \in \mathbb{R}^d, \quad \ell = 1, \dots, \frac{\nu t}{h}.$$

Учитывая (4), суммарное число пар (сигнал, снимок) равно $N = \mu(t - \Delta t)$. Таким образом, для каждого вокселя задана выборка

$$\mathfrak{D}_{ijk} = \{(\mathbf{x}_\ell, \delta_{ijk}^\ell) \mid \ell = 2, \dots, N\}.$$

Baseline модель

Рассмотрим каждый воксель независимо $Y_{ijk} \in \mathbb{R}^N$ - воксели, $X \in \mathbb{R}^{N \times d}$. Предполагаемая зависимость

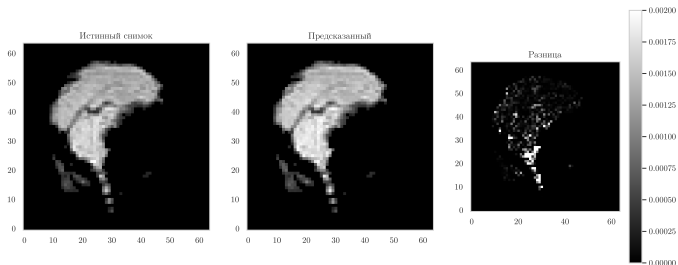
$$Y_{ijk} = X\theta + \varepsilon, \quad (6)$$

где $\theta \in \mathbb{R}^d$ - коэффициенты модели, $\varepsilon \sim N(0, \Sigma)$ - шум. Требуется найти параметры $\hat{\theta}$, при которых достигается максимум функции правдоподобия при заданных гиперпараметрах Δt и d , где d - размерность MFCC:

$$L_X(\theta) = \prod_{i=1}^N p(Y_i) \longrightarrow \max_{\theta} \quad (7)$$

Пример работы алгоритма

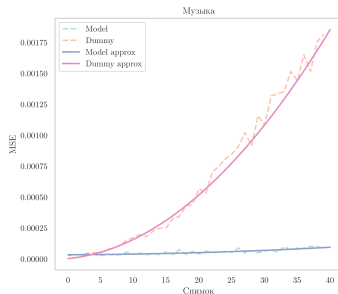
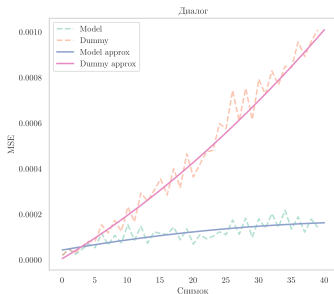
Значения вокселей нормированы на отрезок $[0; 1]$. Ниже приведен пример работы алгоритма на снимках седьмого испытуемого. Все срезы по 20-й координате.



Анализ решения

Соседние снимки фМРТ отличаются на малую величину.
Сравним аналогичное решение с неинформативным входом (случайная матрица) и алгоритм по метрике MSE.
Используется рекурсивный способ предсказания.

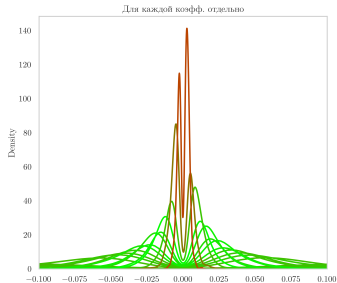
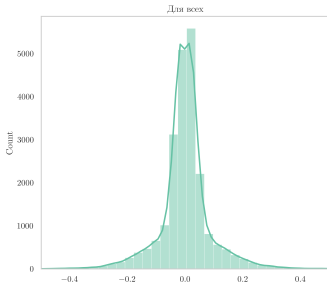
Зависимость MSE от номера снимка в рекурсивной стратегии



Анализ решения

Распределения значимых коэфф. модели, которая предсказывает по звуковой дорожке с музыкой.

Распределения значимых коэффициентов



Предложенная модель работает лучше чем неинформативная модель → звуковая дорожка влияет на изменения вокселей;
Распределения весов невырожденные и более значимые коэфф. имеют большие по модулю значения, что согласуется с нашей интуицией;

- ▶ Overview of Functional Magnetic Resonance Imaging, Gary H. Glover
- ▶ Spatial and temporal limits in cognitive neuroimaging with fMRI, Menon, Ravi S and Kim, Seong-Gi
- ▶ Open multimodal iEEG-fMRI dataset from naturalistic stimulation with a short audiovisual film, Julia Berezutskaya
- ▶ A Scale for the Measurement of the Psychological Magnitude Pitch; S. S. Stevens; J. Volkman; E. B. Newman; doi:10.1121/1.1915893;
- ▶ The neurovisualization methods in diagnostics of head injury. Part 1. Computer tomography and magnetic resonance imaging; Puras, Ju V and Grigorieva, EV; Russian journal of neurosurgery; 2014;